

تحلیل مشخصه‌های امواج طولی هدایت‌شده فراصوت

در استوانه‌های کشسان

خسرو نادران طحان (دانشیار)

کوروش حیدری شیرازی (دانشیار)

دانشکده هندسی، گروه مکانیک، دانشگاه شهید چمران اهواز

علی رزاز (کارشناس ارشد)

دانشکده هندسی، گروه مکانیک، دانشگاه آزاد اسلامی، واحد اهواز

«امواج هدایت‌شده فراصوت» امواجی هستند که با تابش و بازتاب روی سطوح اجسام، درون آن‌ها، در امتداد طول و سطوح آزاد جسم منتشر می‌شوند و در بازرسی‌های غیرمخرب کاربرد روزافزونی دارند. در بررسی حاضر مشخصه‌های انتشار امواج طولی در استوانه‌های کشسان توپر و توالی بررسی شده است. با حل معادلات حرکت و محاسبه میدان تغییر مکان و استخراج کرنش‌ها و تنش‌ها در مختصات استوانه‌بی و با اعمال شرایط مرزی، معادله‌ی فرکانس به دست می‌آید. به علت وابستگی ضرایب این معادله به توابع بسل نوع اول و دوم، نمی‌توان ریشه‌های آن را به صورت یک عبارت تحلیلی پیدا کرد. به همین دلیل برای محاسبه‌ی ریشه‌های این معادله به روش حدس و خطأ، برنامه‌ی رایانه‌بی نوشته شد. برای استوانه‌ی توپر و توالی، مشخصه‌های امواج طولی — یعنی نمودارهای طیف فرکانس، سرعت فاز، سرعت گروه و نیز نمودارهای ساختار موج — ترسیم و نتایج حاصل از آن تحلیل شده‌اند.

naderan_k@scu.ac.ir
k.shirazi@scu.ac.ir
ali.razzaz@gmail.com

وازگان کلیدی: امواج هدایت‌شده، امواج طولی، طیف فرکانس، نمودار پراکندگی، سرعت فاز، سرعت گروه، ساختار موج.

۱. مقدمه

آن‌ها کار بازرسی را مشکل می‌کند — زمینه‌ی تحقیقات گسترشده و جالبی را فراهم کرده است.^[۱-۴]

اگر چه امواج سه‌گانه‌ی هدایت‌شده — امواج طولی، برشی و خمشی — به طور هم‌زمان در استوانه منتشر می‌شوند، شکل‌های برشی و طولی به علت برخورداری از تقارن محوری بیشتر مورد توجه‌اند. در بررسی حاضر فقط شکل طولی این امواج مطالعه شده است.^[۱-۲] برای این کار شکل به خصوصی از حل معادلات حاکم در نظر گرفته شد و میدان‌های تغییر مکان، تنش‌های عمردی و برشی به دست آمد. با اعمال شرط مرزی سطوح بدون تنش برای استوانه‌ی توپر و توالی، و استخراج دستگاه معادلات همگن برای محاسبه‌ی دامنه‌ی تغییر مکان‌ها، شرط وجود جواب‌های غیرصرف‌برای این دستگاه که عبارت از صفرشدن دترمینان ضرایب است، اعمال شد و به این ترتیب معادله‌ی فرکانس به دست آمد. چون ضرایب این معادله ترکیبی است از توابع بسل نوع اول و دوم، نمی‌توان پاسخ معادله را به صورت عبارت تحلیلی نوشت. بنابراین به منظور محاسبه‌ی بعضی ریشه‌های معادله‌ی فرکانس و دامنه‌ی تغییر مکان نظری آن‌ها به روش حدس و خطأ، یک برنامه‌ی رایانه‌بی نوشته شد. به کمک اطلاعات حاصله، نمودارهای طیف فرکانس، سرعت فاز و سرعت گروه، و نیز ساختار موج (نمودار تغییر مکان‌های محوری و شعاعی) برای چند مود

در بازرسی‌های غیرمخرب، برای تعیین خواص مواد و مشخصه‌کردن اندازه و محل نواقص در اجزای حساس سازه‌ها، از امواج فراصوت استفاده می‌شود. تحقیقات نشان می‌دهد که در این بازرسی‌ها، امواج هدایت‌شده فراصوت، یعنی امواجی که روی سطح یا در امتداد یک میله، لوله یا صفحه حرکت می‌کنند در مقایسه با امواج حجمی سیار مؤثرترند.

اطلاعات پایه در مورد انتشار این امواج را در منابع زیادی می‌توان یافت.^[۱-۶] سابقه، وضعیت فعلی و دورنمایی کاربرد امواج هدایت‌شده در بازرسی‌های غیرمخرب و تجهیزاتی، که برای تولید و آشکارسازی آثار آن‌ها مورد استفاده قرار می‌گیرد، توسط محققان مرور شده است.^[۱-۳] پیچیدگی‌های هندسی و اشکال مختلف مقاطع اجسامی که مورد بازرسی قرار می‌گیرند و روش‌های نظری و عددی که برای تجزیه و تحلیل آثار این امواج به کار گرفته می‌شود مورد توجه و علاقه‌ی بیوهش‌گران است.^[۱-۵] استفاده‌ی گسترشده از لوله‌ها و استوانه‌ها در تیروگاه‌ها، پالایشگاه‌ها، خطوط بزرگ لوله‌های نفت و گاز و نوع نواقصی که در این اجسام وجود دارد — مثل ترک‌ها، رسوب‌ها و حفره‌ها که در موادی در دسترس نیستند یا وجود روکش روی سطوح

که در آن: $c_T = \sqrt{\frac{\lambda + 2\mu}{\rho}}$. اگر معادله ۴ فاقد مؤلفه ی چرخش فرض شود، آنگاه:

$$\mathbf{u} = \nabla \varphi \quad (8)$$

و معادله ۶ به صورت معادله ۹ (معادله‌ی معروف به «معادله‌ی موج») درمی‌آید:

$$\nabla^r \mathbf{u} = \frac{1}{c_L^r} \times \frac{\partial^r \mathbf{u}}{\partial t^r} \quad (9)$$

این معادله نشان می‌دهد که حرکت انتقالی یا طولی با سرعت c_L منتشر می‌شود. با استدلالی مشابه، اگر فرض شود که این بار بردار تغییر مکان در معادله ۴ فقط دارای بخش چرخشی است آنگاه:

$$\mathbf{u} = \nabla \times \Psi, \quad \nabla \cdot \Psi = 0 \quad (10)$$

و معادله ۷ به معادله ۱۱ تبدیل می‌شود:

$$\nabla^r \mathbf{u} = \frac{1}{c_T^r} \times \frac{\partial^r \mathbf{u}}{\partial t^r} \quad (11)$$

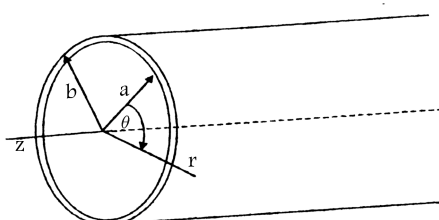
این معادله‌ی موج نیز نشان می‌دهد که حرکت چرخشی با سرعت c_T منتشر می‌شود. معادلات ۹ و ۱۱ مستقل از یکدیگرند و این موضوع نشان می‌دهد که امواج طولی و برشی بدون تأثیر متقابل در محیط‌های نامحدود منتشر می‌شوند در حالی که فقط روی مرز اجسام کشسان برای برقراری هم‌زمان شرایط مرزی با یکدیگر مرتبط یا وابسته می‌شوند.

۱.۳. انتشار امواج هدایت شده در استوانه‌ی کشسان

پیدا کردن فرکانس امواج قابل انتشار در استوانه‌های طویل، با استفاده از معادلات ۶ و ۹ و ۱۱ و تعیین شکل تابع φ و Ψ امکان‌پذیر است. برای مشخص کردن امواجی که در امتداد محور استوانه منتشر می‌شوند و ممکن است امواج طولی، برشی و یا خشنی باشند از روش دیگری برای تفکیک متغیرها استفاده می‌شود. در این روش برای استوانه‌ی بی‌نهایت، میدان تغییر مکان در دستگاه مختصات استوانه‌ی (شکل ۱)، که محور z آن در امتداد محور استوانه قرار دارد، چنین نوشته می‌شود:

$$\begin{aligned} u_r &= U_r(r) \cos n\theta \cos(\omega t + kz) \\ u_\theta &= U_\theta(r) \sin n\theta \cos(\omega t + kz) \\ u_z &= U_z(r) \cos n\theta \cos(\omega t + kz) \end{aligned} \quad (12)$$

که در آن u_r, u_θ, u_z مؤلفه‌های تغییر مکان در راستاهای شعاعی، محیطی و محوری، U_z, U_θ, U_r دامنه‌ی این تغییر مکان‌ها، ...، $n = 0, 1, 2, 3, \dots$ مرتبه‌ی محیطی،



شکل ۱. دستگاه مختصات در استوانه‌ی توخالی به طول بی‌نهایت و شعاع داخلی a و شعاع بیرونی b .

و فرکانس رسم شد و نتایج به دست آمده با اطلاعات موجود در منابع دیگر مقایسه شده‌اند.

۲. پیشینه‌ی نظری

معادله‌ی حرکت ذرات یک جسم کشسان همسان‌گرد بر حسب بردار تغییر مکان $\mathbf{u} = (u_1, u_2, u_3)$ به صورت رابطه‌ی ۱ نوشته می‌شود:^[۱]

$$\nabla^r \mathbf{u} = \rho \frac{\partial^r \mathbf{u}}{\partial t^r} - (\lambda + \mu) \nabla \nabla \cdot \mathbf{u} + \mu \nabla^r \mathbf{u} \quad (13)$$

که در آن t زمان، ρ جرم مخصوص، λ و μ ضرایب لامه‌اند. علامت‌های ∇ و ∇^r عملگرهای مشتق‌گیری جزئی مرتبه‌ی اول و دوم‌اند که شکل آن‌ها به دستگاه مختصات بستگی دارد. اگر دامنه‌ی پاسخ معادله‌ی ۱ نامحدود باشد (مرزهای جسم تا بینهایت ادامه داشته باشند)، این معادله برای یافتن تغییر مکان ذرات جسم کفایت می‌کند. اما اگر دامنه‌ی پاسخ محدود باشد (مثل حرکت ذرات یک صفحه یا میله)، آنگاه برای به دست آوردن میدان تغییر مکان، تأمین شرایط مرزی ۲ و ۳ بر روی مرزها ضروری است:

$$\mathbf{u}(\mathbf{x}, t) = \mathbf{u}(\mathbf{x}_0, t) \quad (2)$$

$$\mathbf{t}_n = \mathbf{T} \mathbf{n} \quad (3)$$

در این روابط \mathbf{x} بردار موقعیت هر نقطه از جسم، \mathbf{n} عمود وارد بر سطح جسم در هر نقطه، \mathbf{T} و \mathbf{t}_n به ترتیب تنسور و بردار تنش روی سطحی هستند که \mathbf{n} بر آن عمود شده است. اگر شرایط مرزی روی سطح S جسم ترکیبی باشد از تغییر مکان و تنش، باید شرط ۲ روی یک بخش (مثل S_1) و شرط ۳ روی بخش دیگر (مثل S_2) برقرار باشد.

۳. روش حل

یکی از روش‌های حل معادله‌ی ۱، استفاده از روش معروف به تجزیه‌ی هلمولتز است. براساس این روش فرض می‌شود بردار تغییر مکان دارای دو مؤلفه است: یکی انتقالی که برابر گرادیان یکتابع اسکالر φ است، و دیگری چرخشی که مقدار آن برابر کل یکتابع پتانسیل برداری Ψ است، بردار تغییر مکان (\mathbf{u}) را برای آن به صورت رابطه‌ی ۴ می‌نویسند:

$$\mathbf{u} = \nabla \varphi + \nabla \times \Psi, \quad \nabla \cdot \Psi = 0 \quad (4)$$

با جایگزین کردن ۴ در ۱ و استفاده از روابط تحلیل برداری معادله‌ی ۵ به دست می‌آید:

$$\nabla[(\lambda + 2\mu)\nabla^r \varphi - \rho \frac{\partial^r \varphi}{\partial t^r}] + \nabla \times [\mu \nabla^r \Psi - \rho \frac{\partial^r \Psi}{\partial t^r}] = 0 \quad (5)$$

اگر عبارت‌های داخل کروشهای صفر باشند، معادله‌ی ۵ برای تمام نقاط جسم همواره برقرار خواهد بود و بنابراین، معادلات مستقل ۶ و ۷ به دست می‌آیند:

$$\nabla^r \varphi = \frac{1}{c_L^r} \times \frac{\partial^r \varphi}{\partial t^r} \quad (6)$$

$$\nabla^r \Psi = \frac{1}{c_T^r} \times \frac{\partial^r \Psi}{\partial t^r} \quad (7)$$

کرنش به دست می‌آیند و با جایگزینی آن‌ها در روابط هوك می‌توان تمامی مؤلفه‌های تنش را نیز محاسبه کرد. مؤلفه‌های σ_{rr} , $\sigma_{r\theta}$, σ_{rz} روی سطوح داخلی و بیرونی استوانه برابر صفرند. با اعمال شرایط مرزی روی سطح بیرونی و داخلی استوانه، شش معادله به دست می‌آید که برای داشتن حل غیر بدینه، دترمینان ضرایب مجھول باید صفر شود؛ یعنی:

$$D = \begin{vmatrix} c_{11} & c_{12} & c_{13} & c_{14} & c_{15} & c_{16} \\ c_{21} & c_{22} & c_{23} & c_{24} & c_{25} & c_{26} \\ c_{31} & c_{32} & c_{33} & c_{34} & c_{35} & c_{36} \\ c_{41} & c_{42} & c_{43} & c_{44} & c_{45} & c_{46} \\ c_{51} & c_{52} & c_{53} & c_{54} & c_{55} & c_{56} \\ c_{61} & c_{62} & c_{63} & c_{64} & c_{65} & c_{66} \end{vmatrix} = 0 \quad (13)$$

که در آن ضرایب c_{ij} عبارت‌هایی از توابع بسل نوع اول و دوم‌اند (برای استوانه‌ی توپر فقط بسل نوع اول) و در ضمیمه ۱ درجه شده‌اند. می‌توان نشان داد که D قابل تجزیه به دو دترمینان $D_1 = 0$ و $D_2 = 0$ است که ریشه‌های معادلات حاصل به ترتیب فرکانس امواج طولی و برشی را تشکیل می‌دهند. مؤلفه‌های این دترمینان‌ها نیز در ضمیمه ۱ ارائه شده است.

برای یک میله‌ی استوانه‌ی توپر به شعاع a معادله‌ی فرکانس، معروف به معادله‌ی پاک‌هایم، شکل ساده‌تری دارد و چنین استخراج می‌شود:^[۱]

$$\frac{2\alpha}{a}(\beta^* + k^*) J_1(\alpha a) J_1(\beta a) - (\beta^* - k^*)^* J_0(\alpha a) J_0(\beta a) - 4k^* \alpha \beta J_1(\alpha a) J_0(\beta a) = 0 \quad (14)$$

که در آن $k^* = \frac{\omega}{c_L}$ و $\alpha^* = \frac{\omega}{c_T}$ و $\beta^* = \frac{\omega}{c_R}$ و J_1 و J_0 توابع بسل نوع اول از مرتبه‌ی صفر و یک هستند.

برای هر مقادار از k و α که در معادله‌ی ۱۴ صدق کنند، مؤلفه‌های میدان تغییر مکان چنین به دست می‌آیند:

$$u_r = [-a A J_1(\alpha r) - ik C J_1(\beta r)] e^{i(kz - \omega t)} \quad (15)$$

$$u_z = [ik A J_0(\alpha r) + \beta C J_0(\beta r)] e^{i(kz - \omega t)} \quad (16)$$

که در آن‌ها $A = -\frac{rik\alpha J_1(\alpha a)A}{(\beta^* - k^*)J_1(\beta a)}$ و $C = \frac{rik\alpha J_1(\alpha a)A}{(\beta^* - k^*)J_1(\beta a)}$ مقدار نامشخص دامنه است که در این بررسی برای واحد در نظر گرفته شده است. عبارت مربوط به سرعت گروه، c_g ، در ضمیمه ۲ درج شده است. برای استوانه‌ی توخالی، مؤلفه‌های تغییر مکان از روابط ۱۷ و ۱۸ به دست می‌آیند:^[۲]

$$u_r = [-A_1 \alpha H_1^*(\alpha r) - A_2 \alpha H_1^*(\alpha r) + B_1 k H_1^*(\beta r) + B_2 k H_1^*(\beta r)] e^{i(kz - \omega t)} \quad (17)$$

$$u_z = [-A_1 k H_0^*(\alpha r) - A_2 k H_0^*(\alpha r) - B_1 \beta H_0^*(\beta r) - B_2 \beta H_0^*(\beta r)] e^{i(kz - \omega t)} \quad (18)$$

در این روابط ضرایب A_1 , A_2 , B_1 و B_2 مؤلفه‌های بردار ویژه‌ی ماتریسی هستند که معادله‌ی مشخصه‌ی آن $D = 0$ است. H_0^* و H_1^* توابع هنکل نوع ۱ و ۲ مرتبه‌ی صفر و ۱ و ۲ توابع هنکل نوع ۱ و ۲ مرتبه‌ی یک هستند که چنین تعریف می‌شوند (J و Y توابع بسل نوع اول و دوم‌اند):

$$H_0^* = J_0 + i Y_0, \quad H_1^* = J_0 - i Y_0 \quad (19)$$

$$H_0^* = J_1 + i Y_1, \quad H_1^* = J_1 - i Y_1 \quad (20)$$

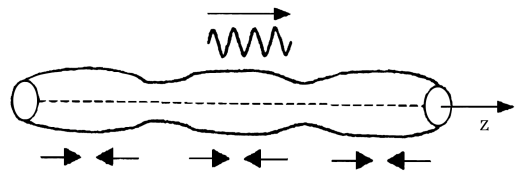
k عدد موج، $\omega = 2\pi f$ فرکانس است. دامنه‌ی تغییر مکان‌ها با جایگزینی ω در معادله‌ی حرکت ۱ یا معادلات ۹ و ۱۱ تعیین می‌شوند. این دامنه‌ها از توابع بسل (یا توابع بسل اصلاح شده) تشکیل شده‌اند و به‌کمک آن‌ها تغییر مکان، کرنش‌ها و تنش‌ها در هر نقطه از جسم محاسبه می‌شوند.^[۲]

برای مطالعه‌ی انتشار امواج در اجسام، به‌کمک معادله‌ی فرکانس، ابتدا نمودار تغییرات فرکانس‌های قابل انتشار برحسب عدد موج به دست می‌آید؛ این نمودار «طیف فرکانس» نامیده می‌شود. با مشخص شدن این تغییرات، تغییرات سرعت فاز و سرعت گروه — که به ترتیب به صورت $\frac{ds}{dk}$ و $c_p = \frac{ds}{dk}$ تعریف می‌شوند — به‌سادگی مشخص می‌شوند. نمودار تغییر مکان نقاط جسم برحسب فاصله از یک مبدأ دلخواه، ساختار امواج را مشخص می‌کند.

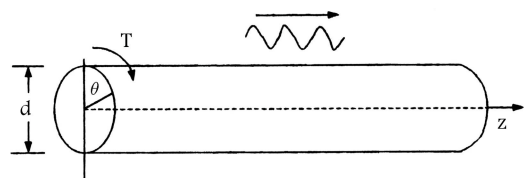
اگر موج تنفسی در استوانه انتشار یابد، امواج طولی (شکل ۲)، بر بشی (شکل ۳) و خمی (شکل ۴) آن را می‌توان به صورت جداگانه مطالعه کرد.^[۱] چنانچه همه مودها در امتداد z منتشر شوند، امواج طولی و برشی دارای تقارن محوری‌اند ولی مود خمی فاقد این تقارن است. در روابط ۱۲، تغییر مکان‌های نظیر $= 0$ مودهای متقارن محوری‌اند و تغییر مکان‌های نظیر $n = 1, 2, 3, \dots$ مودهای خمی شامل توابع سینوسی با آرگومان $n\theta$ هستند. به همین جهت از علامت‌گذاری زیر برای تکیک مودها استفاده می‌شود: (L^0, m) و (T^0, m) به ترتیب برای مودهای طولی و برشی با تقارن محوری و (F, n, m) برای مود نامتقارن خمی.^[۱] شماره‌ی مود موج است. در عمل مودهای طولی به مودهای خمی ترجیح داده می‌شوند، زیرا این امواج تقارن محوری دارند و در تمام 360° محیط استوانه‌ی توخالی می‌توان برای بازرسی از آن‌ها استفاده کرد.

۲.۳. مودهای متقارن

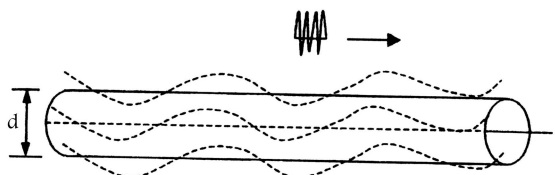
با تعیین میدان تغییر مکان و استفاده از روابط کرنش - تغییر مکان، تمامی مؤلفه‌های



شکل ۲. امواج طولی در استوانه.



شکل ۳. امواج برشی در استوانه.



شکل ۴. امواج خمی در استوانه.

۴. نتایج

۱.۴. میله‌ی آلومنیومی توپر

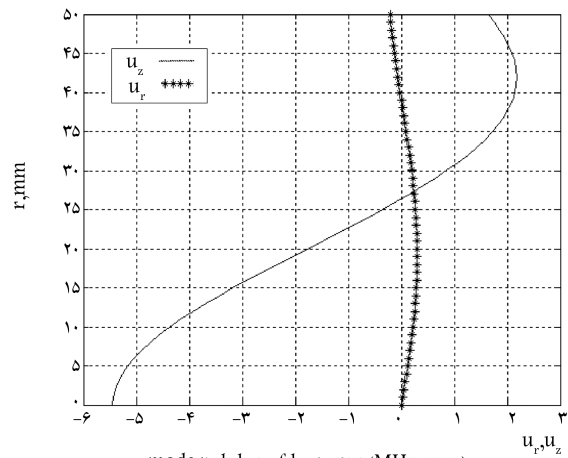
فرکانس‌های توقف (مقدار fd در ازای $k = 0$) حاصل از بررسی حاضر به منظور مقایسه با فرکانس‌های مشابه — که برگرفته از نمونه موجود در دیگر مراجع^[۱] هستند — برای چند مود نمونه در جدول ۱ درج شده است. با توجه به نزدیکی مقدار این فرکانس‌ها می‌توان گفت که نتایج حاصل از بررسی حاضر از دقت کافی برخوردارند.

در شکل ۶ الف مشاهده می‌شود که اگر fd خیلی بزرگ انتخاب شود، سرعت فاز پایین‌ترین مود به سرعت امواج سطحی ریلی در آلومنیوم هم‌گرا می‌شود در حالی که سرعت فاز مودهای مرتبه‌ی بالاتر به CT — یعنی به سرعت امواج برشی — هم‌گرا می‌شوند.^[۱]

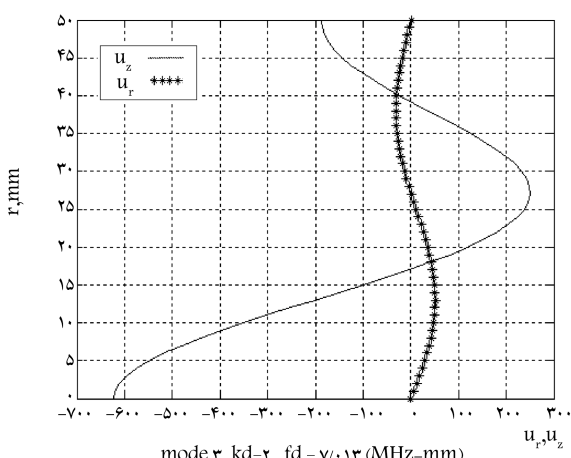
در شکل‌های ۷ تا ۱۰ ساختار موج برای چند مود و فرکانس نمونه در استوانه‌ی آلومنیومی توپر نشان داده شده است. در این شکل‌ها موقعیت نقاطی که تغییر مکان آن‌ها بیشتر است مشخص می‌شود. مثلاً در شکل ۷ که ساختار موج را برای مود

جدول ۱. مقایسه‌ی فرکانس‌های توقف.

شماره مود	۹	۷	۴	۱	$MHz - mm$, fd
بررسی حاضر	۱۹,۳۶	۱۶,۲۵	۱۰,۰۴	۳,۷۸	
مرجع ^[۱]	۱۹,۴۴	۱۶,۳۹	۱۰	۳,۷۷	

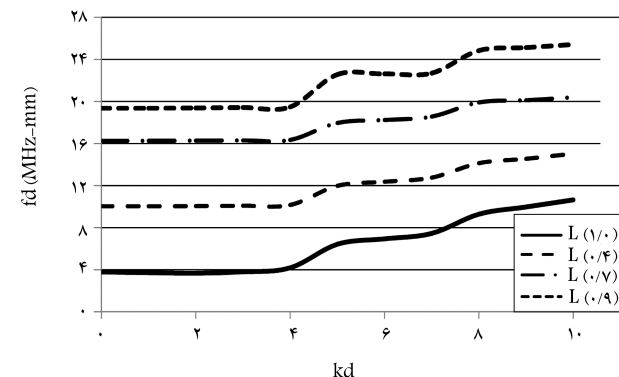


شکل ۷. ساختار موج در مود دوم.

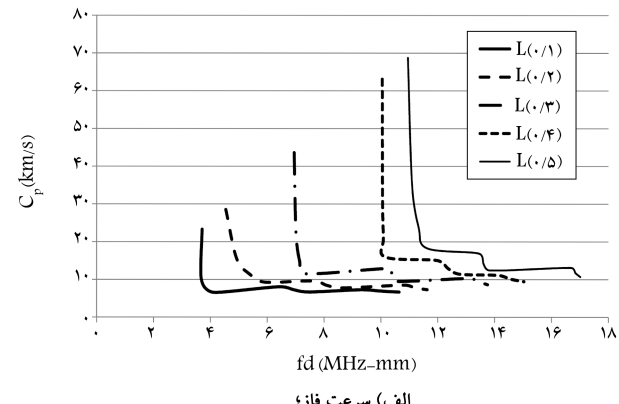


شکل ۸. ساختار موج در مود سوم.

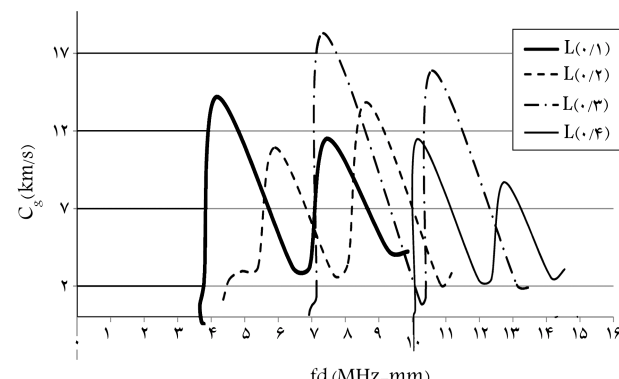
برای یک میله‌ی آلومنیومی توپر به شعاع $a = ۵۰$ میلی‌متر و $c_L = ۶/۳ \text{ Km/s}$ و $c_T = ۳/۱ \text{ Km/s}$ ، به کمک یک برنامه‌ی رایانه‌ی نسبت به تعیین فرکانس و میدان تغییر مکان امواج متقارن محوری قابل انتشار، به ازای هر مقدار از عدد موج k ، اقدام شد. کم‌ترین فرکانس‌ها نظر مود اول است و فرکانس‌های بعدی به ترتیب نظری مودهای دوم، سوم و ... هستند. در شکل ۵ طیف فرکانس، در شکل ۶ الف سرعت فاز، و در شکل ۶ ب سرعت گروه بر حسب حاصل ضرب فرکانس در قطر میله ترسیم شده است.



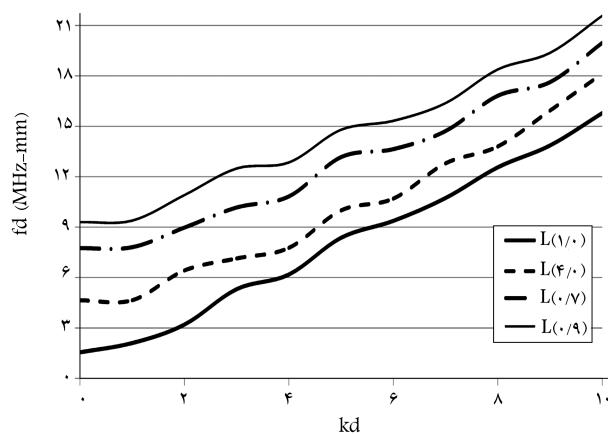
شکل ۵. طیف فرکانس برای میله‌ی آلومنیومی.



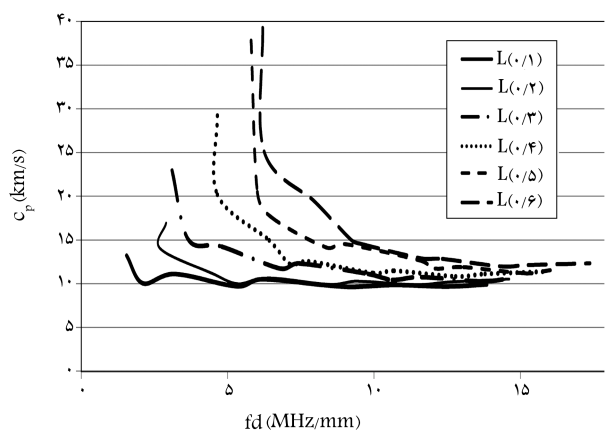
الف) سرعت فاز؛



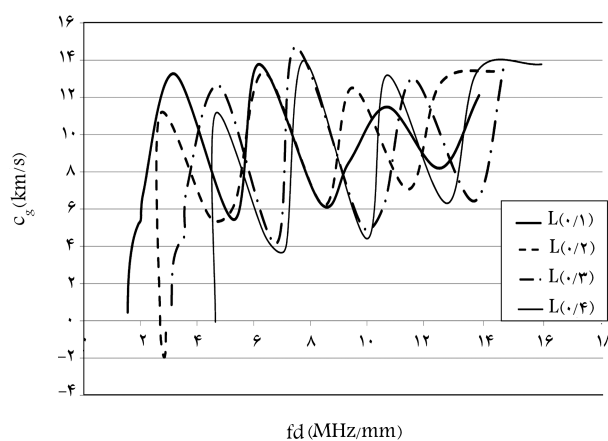
شکل ۶. نمودار پراکندگی سرعت برای میله‌ی آلومنیومی.



شکل ۱۱. طیف فرکانس برای استوانه‌ی تواخالی فولادی زنگ‌زن.



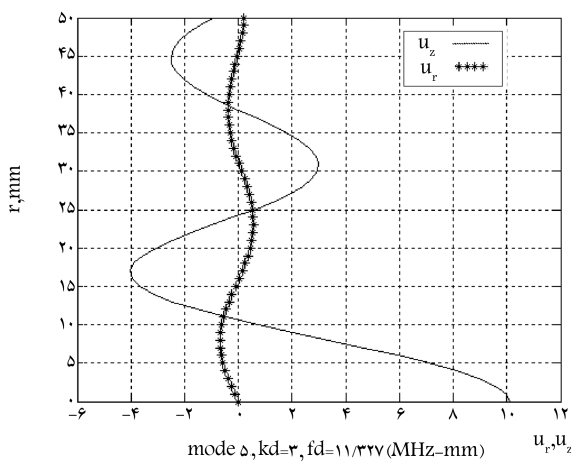
شکل ۱۲. نمودار پراکندگی سرعت فاز برای لوله‌ی فولادی زنگ‌زن.



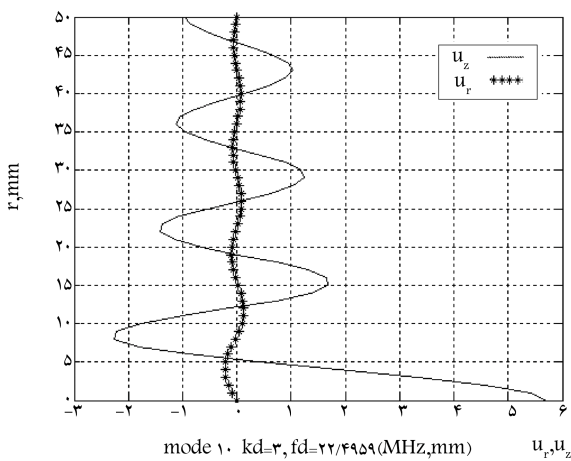
شکل ۱۳. نمودار پراکندگی سرعت گروه برای مودهای مختلف در لوله‌ی فولادی زنگ‌زن.

۱۳ رسم شده است. مشاهده می‌شود که در بعضی از فرکانس‌ها، این سرعت تقویت و در بعضی دیگر تضعیف می‌شود. ملاحظه می‌شود شکل کلی تغییرات طیف‌های فرکانس و سرعت فاز مشابه تغییرات در یک میله توپر است. نمودارهای تغییرمکان برای بعضی از مودها و فرکانس‌ها در شکل‌های ۱۴ تا ۱۶ رسم شده‌اند.

ساخترار موج، یعنی نمودار تغییر مکان‌های طولی و شعاعی برای مود اول و



شکل ۹. ساختار موج در مود پنجم.

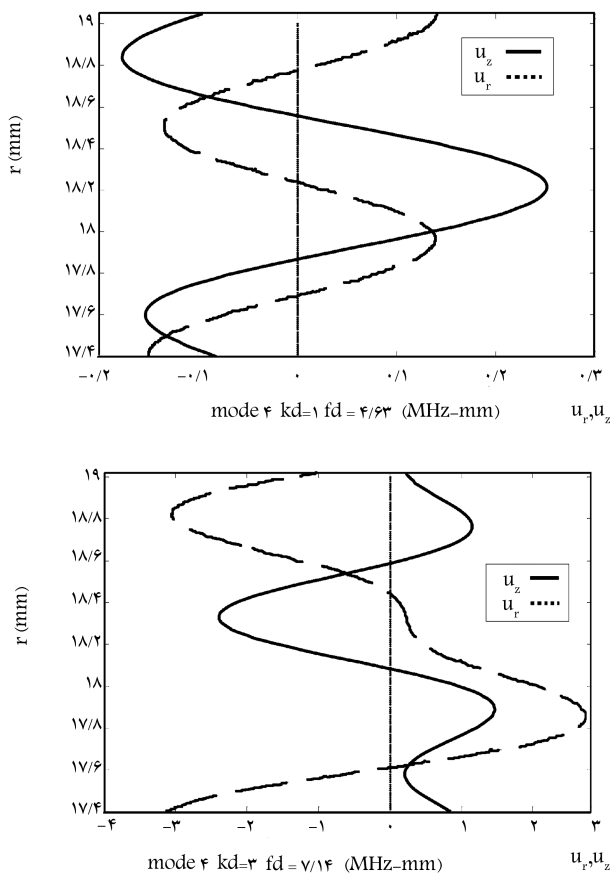


شکل ۱۰. ساختار موج در مود دهم.

دوم نشان می‌دهد، تغییر مکان طولی در نقاط نزدیک به سطح و مرکز استوانه در مقایسه با تغییر مکان شعاعی بسیار بیشتر است. بنابراین اگر قرار است از این مود برای بازرسی استفاده شود باید حسگرهای فراصوت در صفحه‌ی عمود بر محور Z و در فاصله‌ی تقریباً یک چهارم از لمبه‌ی بیرونی یا در مرکز میله قرار داده شوند. بدینهی است چنانچه حسگر را به منظور دریافت تغییر مکان‌های شعاعی روی سطح جانسی استوانه قرار دهنده، امواج دریافتی وضوح کافی نخواهد داشت. شکل‌های ۸، ۹ و ۱۰ نشان می‌دهند که محل مناسب حسگر برای مودهای نشان داده شده، تقریباً در فواصل نصف شعاع یا در مرکز است.

۲.۴. استوانه‌ی تواخالی

برای استوانه‌ی تواخالی از فولاد زنگ‌زن به طول بی‌نهایت با شعاع داخلی ۱۷/۴ میلی‌متر و شعاع خارجی ۱۹/۰۵ میلی‌متر و $c_T = ۳/۱$ کیلومتر بر ژانیه، ریشه‌های معادله‌ی فرکانس با روش نیوتن - رافسون به‌ازای هر مقدار از عدد موج k محاسبه می‌شوند. به‌کمک این ریشه‌ها که همان مقادیر ویژه‌ی معادله فرکانس‌اند، مؤلفه‌های بردارهای ویژه، یعنی ضرایب B_1, A_2, A_1 و B_2 در معادلات ۱۷ و ۱۸ نیز قابل محاسبه‌اند و به طور هم‌زمان می‌توان نمودار تغییر مکان را بر حسب ۷ و برای هر عدد موج و فرکانس نیز رسم کرد. طیف‌های فرکانس و سرعت فاز به ترتیب در شکل‌های ۱۱ و ۱۲ و نمودار سرعت گروه برای چهار مود اولیه در شکل

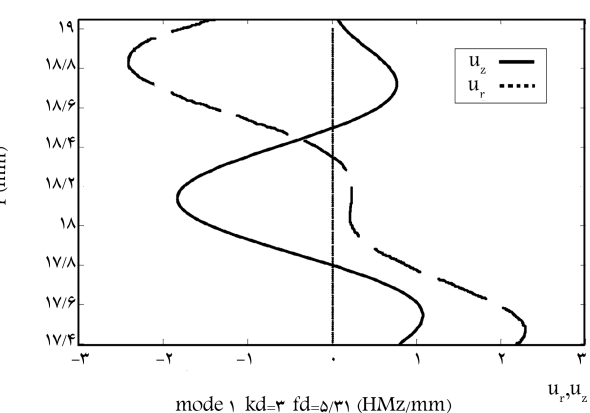
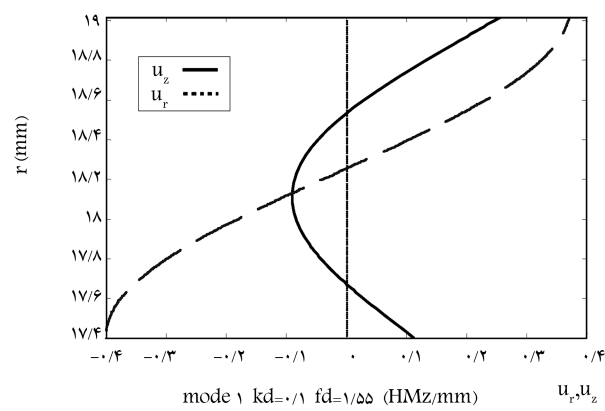


شکل ۱۶. ساختار موج در مود چهارم برای دو فرکانس متفاوت u_z و u_r .

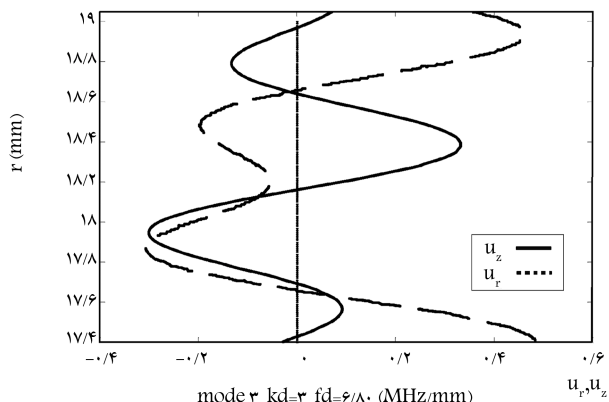
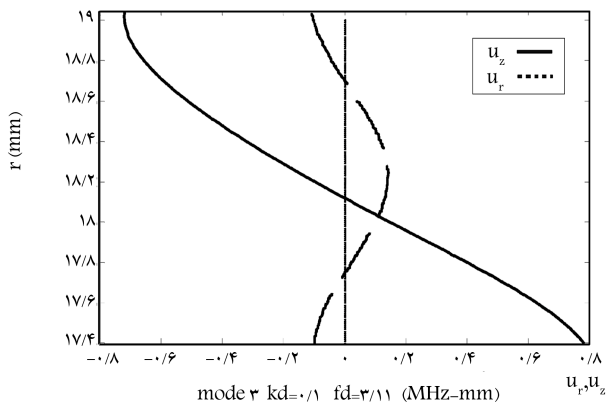
نیز دو فرکانس متفاوت در شکل ۱۴ رسم شده است. جالب توجه است که تغییر مکان‌های طولی که روی سطح بیرونی و داخلی در فرکانس پایین‌تر با وضوح کافی قابل دریافت‌اند در فرکانس بالاتر روی سطح بیرونی تقریباً به صفر می‌رسند، در حالی که تغییر مکان‌های شعاعی روی سطح داخلی و بیرونی همانند آنچه که در فرکانس‌های پایین‌تر رخ می‌دهد تقریباً هم مرتبه باقی می‌مانند. این موضوع برای مود سوم نیز مشاهده می‌شود، با این تفاوت که تغییر مکان‌های شعاعی در فرکانس بالاتر روی سطح داخلی و بیرونی به خوبی قابل دریافت‌اند ولی در فرکانس پایین‌تر از وضوح کافی برخوردار نخواهند بود. تغییر مکان‌های مود چهارم برای دو فرکانس اندازه‌های نسبی مشابه مود اول را دارند. این مطالعات را می‌توان برای بهینه‌سازی توان تلفشده (نشت توان) در لوله‌های پراپ و برای تشخیص عیب در ضخامت لوله‌ها به کار گرفت.

۵. نتیجه‌گیری

از امواج هدایت شده، به دلیل این که دارای مودهای چندگانه‌اند، با انتخاب مودهای مناسب، می‌توان در بازرسی‌های غیرمخرب استفاده کرد. برای نشان دادن چگونگی تعیین مودهای مناسب، دو مدل استوانه‌ای -- یکی توپر آلومینیومی و دیگری توخالی از جنس فولاد زنگ‌زن -- با فرض این که رفتارشان کاملاً کشسانی باشد، مورد بررسی قرار گرفت و مودهای طولی در آن‌ها، به دلیل آن که تقارن محوری دارند و در بازرسی‌ها بیشتر مورد استفاده قرار می‌گیرند، مطالعه شد. از حل عددی معادله‌ی فرکانس مدل‌ها به طیف‌های فرکانس و پراکندگی سرعت فاز دست خواهیم یافت.



شکل ۱۴. ساختار موج در مود اول برای دو فرکانس متفاوت u_z و u_r .



شکل ۱۴. ساختار موج در مود سوم برای دو فرکانس متفاوت u_z و u_r .

استوانه به دست آمد. نمودارهای ساختار موج برای نشان دادن محل های مناسب دریافت علام ارائه شدند. این نمودارها نشان گر چشم انداز عمیق تری از حرکت ذرات جسم روی مرزها و درون آن هستند و برای ارزیابی نتایج نظری و تجربی کاربرد دارند.

به کمک این طیف ها می توان نشان داد که با تغییر فرکانس موج مورد استفاده، می توان سرعت انتشار آن ها را تغییر داد. در مطالعه ای این امواج، نمودار تغییرات سرعت گروه نیز به دست خواهد آمد که به کمک آن می توان چگونگی تغییر سرعت گروه موج مورد استفاده برای تغییر فرکانس را تعیین کرد. این نمودار برای مودهای مختلف در

منابع

1. Rose, J.L., *Ultrasonic Waves in Solid Media*, Cambridge University Press (1999).
2. Graff, K.F., *Wave Motion in Elastic Solids*, New York: Dover (1991).
3. Rose, J.L. "A base line and vision of ultrasonic guided wave inspection potential", *Journal of Pressure Vessel Technology*, **124**, pp.273-282 (2002).
4. Barshinger, J.; Rose, J.L. and Avioli, M.J.Jr. "Guided wave resonance tuning for pipe inspection", *Journal of Pressure Vessel Technology*, **124**, pp.303-310 (2002).
5. Ratassepp, M. and Klauson, A. "Curvature effects on wave propagation in an infinite pipe", *ISSN 13922-2114 ULTRAGARSAS*, **2**(59), pp.19-25 (2006).
6. Hayashi, T.; Song, W.J. and Rose, J.L. "Guided wave dispersion curves for a bar with an arbitrary cross section, a rod and rail example", *Ultrasonics*, **41**, pp. 175-183 (2003).
7. Hayashi, T.; Tamayama, C. and Murase, M. "Wave structure analysis of guided waves in a bar with an arbitrary cross-section", *Ultrasonics*, **44**, pp. 17-24 (2006).
8. Zhao, X.G. and Rose, J.L. "Boundary element modeling for defect characterization potential in a wave guide", *Int. Journal of Solids and Structure*, **40**, pp.2645-2658 (2003).
9. Lohr, K.R. and Rose, J.L. "Ultrasonic guided wave and acoustic impact methods for pipe fouling detection", *Journal of Food Engineering*, **56**, pp.315-324 (2003).
10. Satyarnarayan, L.; Chandrasekaran, J.; Maxfield, B. and Balasubramaniam, K. "Circumferential higher order guided wave modes for the detection and sizing of cracks and pinholes in pipe support regions", *NDT & E International*, **41**, pp.32-43 (2007).
11. Wassink, C.H.P. and Dijkstra, F.H., *Innovation in Non-Destructive Testing and Inspection Technologies*, Applus RTD-NDTI Technological Center Delftweg 144, 3046 NC Rotterdam, The Netherlands (2006).
12. Razzaz, A., *Study of Ultrasonic Guided Waves in Elastic Solids*, M. Sc. Dissertation, Islamic Azad University, Ahvaz Branch (2008).

ضمامات

ضمیمه ۱

$$\begin{aligned}
 c_{11} &= (\beta^r - k^r) a^r Y_1(\beta a) \\
 c_{12} &= -(\beta^r - k^r) b^r J_o(\alpha b) + 2\alpha b J_1(\alpha b) \\
 c_{13} &= 2k\beta b^r J_o(\beta b) - 2kb J_1(\beta b) \\
 c_{14} &= -(\beta^r - k^r) b^r Y_o(\alpha b) + 2\alpha b Y_1(\alpha b) \\
 c_{15} &= 2k\beta b^r Y_o(\beta b) - 2kb Y_1(\beta b) \\
 c_{21} &= -k\beta b^r J_o(\beta b) + 2kb J_1(\beta b) \\
 c_{22} &= \beta^r b^r J_o(\beta b) - 2\beta b Y_1(\beta b) \\
 c_{23} &= -k\beta b^r Y_o(\beta b) + 2kb Y_1(\beta b) \\
 c_{24} &= \beta^r b^r Y_o(\beta b) - 2\beta b Y_1(\beta b) \\
 c_{25} &= 2k\alpha b^r J_1(\alpha b) \\
 c_{31} &= (\beta^r - k^r) b^r J_1(\beta b) \\
 c_{32} &= 2k\alpha b^r Y_1(\alpha b) \\
 c_{33} &= (\beta^r - k^r) b^r Y_1(\beta b)
 \end{aligned}$$

با اعمال شرایط مرزی $\sigma_{rr} = \sigma_{rz} = \sigma_{rz} = 0$ در روابط حاصل برای تنش‌های شعاعی و برشی در صفحات $r\theta$ و rz معادله‌ی فرکانس به صورت زیر قابل استخراج است:

$$D = D_1 \cdot D_2 = 0$$

$$D_1 = \begin{vmatrix} c_{11} & c_{12} & c_{13} & c_{15} \\ c_{21} & c_{22} & c_{24} & c_{25} \\ c_{31} & c_{32} & c_{33} & c_{35} \\ c_{41} & c_{42} & c_{43} & c_{45} \end{vmatrix} \quad \text{و} \quad D_2 = \begin{vmatrix} c_{22} & c_{24} \\ c_{52} & c_{54} \end{vmatrix}$$

از حل معادله‌های $D_1 = 0$ و $D_2 = 0$ به ترتیب فرکانس امواج قابل انتشار طولی و برشی به دست می‌آید. اگر a و b به ترتیب نشان‌گر شعاعی داخلی و بیرونی استوانه، J_1 و J_0 نشان‌گر توابع سلسیون اول با مرتبه‌ی صفر و ۱، و نیز Y_1 و Y_0 نشان‌گر توابع سلسیون دوم با مرتبه‌ی صفر و ۱ باشند، مؤلفه‌های غیر صفر D چنین نوشته می‌شوند:

اگر $F(\alpha, \beta) = 0$ معادله‌ی مشخصه یا معادله‌ی فرکانس باشد، در این صورت سرعت گروه از رابطه زیر قابل محاسبه است:

$$\begin{aligned}
 c_g &= \frac{k}{\omega} \times \frac{\frac{\gamma}{\alpha} \frac{\partial F}{\partial \alpha} + \frac{\gamma}{\beta} \frac{\partial F}{\partial \beta}}{\frac{\gamma}{\alpha} \frac{\partial F}{\partial \alpha} \frac{c_L}{c_T} + \frac{\gamma}{\beta} \frac{\partial F}{\partial \beta} \frac{c_T}{c_L}} \\
 \frac{\partial F}{\partial \alpha} &= \frac{\gamma}{a} (\beta^r + k^r) J_1(\beta a) [\alpha J_o(\alpha a) + (1 - \frac{\gamma}{a}) J_1(\alpha a)] \\
 &+ a(\beta^r - k^r)^r J_1(\alpha a) J_1(\beta a) \\
 &- 4k^r \beta J_o(\beta a) [\alpha J_o(\alpha a) + (1 - \frac{\gamma}{a}) J_1(\alpha a)] \\
 \frac{\partial F}{\partial \beta} &= \frac{\gamma \alpha}{a} J_1(\alpha a) [\beta(\beta^r + k^r) J_o(\beta a) + (\gamma \beta - \frac{\beta^r + k^r}{a}) J_1(\beta a)] \\
 &- (\beta^r - k^r)^r J_o(\alpha a) [(\gamma \beta - \frac{\beta^r - k^r}{a}) J_1(\beta a) + \beta(\beta^r - k^r) J_1(\beta a)] \\
 &- 4k^r \alpha J_1(\alpha a) [J_o(\beta a) - \beta a J_1(\beta a)]
 \end{aligned}$$

که در آن:

$$\begin{aligned}
 c_{11} &= -(\beta^r - k^r) a^r J_o(\alpha a) + 2\alpha a J_1(\alpha a) \\
 c_{12} &= 2k\beta a^r J_o(\beta a) - 2ka J_1(\beta a) \\
 c_{13} &= -(\beta^r - k^r) a^r Y_o(\alpha a) + 2\alpha a Y_1(\alpha a) \\
 c_{15} &= 2k\beta a^r Y_o(\beta a) - 2ka Y_1(\beta a) \\
 c_{21} &= -k\beta a^r J_o(\beta a) + 2ka J_1(\beta a) \\
 c_{22} &= \beta^r a^r J_o(\beta a) - 2\beta a J_1(\beta a) \\
 c_{23} &= -k\beta a^r Y_o(\beta a) + 2ka Y_1(\beta a) \\
 c_{24} &= \beta^r a^r Y_o(\beta a) - 2\beta a Y_1(\beta a) \\
 c_{25} &= 2k\alpha a^r J_1(\alpha a) \\
 c_{31} &= (\beta^r - k^r) a^r J_1(\beta a) \\
 c_{32} &= 2k\alpha a^r Y_1(\alpha a)
 \end{aligned}$$